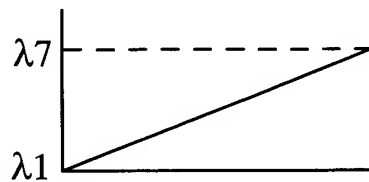


Fig. 1



position in focal plane

Fig. 2

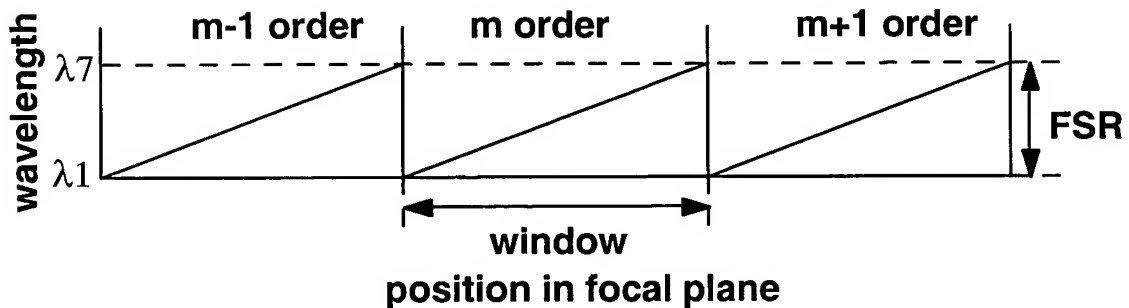


Fig. 3



Fig. 5

3/16

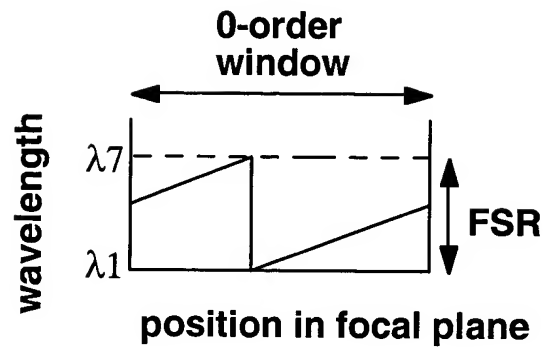


Fig. 6

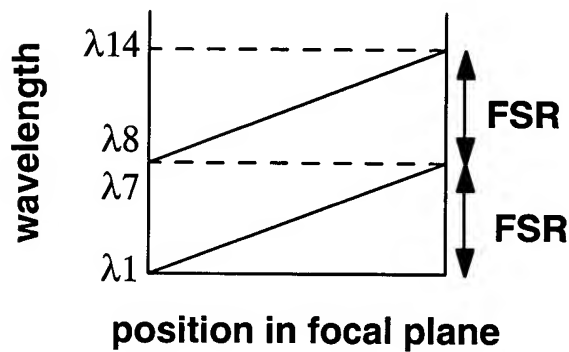


Fig. 7

Optical Fiber	7	λ_7 λ_{14}	λ_1 λ_8	λ_2 λ_9	λ_3 λ_{10}	λ_4 λ_{11}	λ_5 λ_{12}	λ_6 λ_{13}
	6	λ_6 λ_{13}	λ_7 λ_{14}	λ_1 λ_8	λ_2 λ_9	λ_3 λ_{10}	λ_4 λ_{11}	λ_5 λ_{12}
	5	λ_5 λ_{12}	λ_6 λ_{13}	λ_7 λ_{14}	λ_1 λ_8	λ_2 λ_9	λ_3 λ_{10}	λ_4 λ_{11}
	4	λ_4 λ_{11}	λ_5 λ_{12}	λ_6 λ_{13}	λ_7 λ_{14}	λ_1 λ_8	λ_2 λ_9	λ_3 λ_{10}
	3	λ_3 λ_{10}	λ_4 λ_{11}	λ_5 λ_{12}	λ_6 λ_{13}	λ_7 λ_{14}	λ_1 λ_8	λ_2 λ_9
	2	λ_2 λ_9	λ_3 λ_{10}	λ_4 λ_{11}	λ_5 λ_{12}	λ_6 λ_{13}	λ_7 λ_{14}	λ_1 λ_8
	1	λ_1 λ_8	λ_2 λ_9	λ_3 λ_{10}	λ_4 λ_{11}	λ_5 λ_{12}	λ_6 λ_{13}	λ_7 λ_{14}
		low (large T)						
		Mirror Position						
		high (small T)						

Fig. 8

4/16

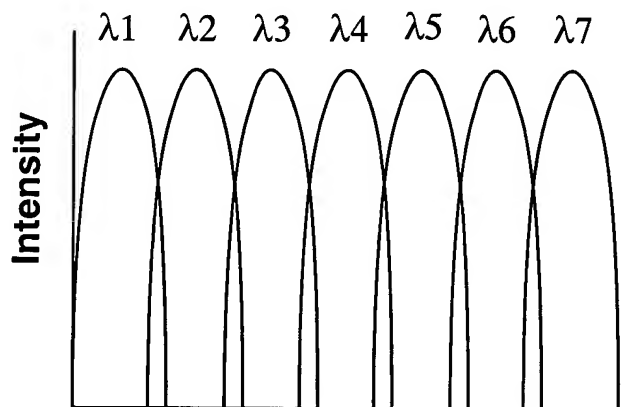


Fig. 9a Focal Plane Position

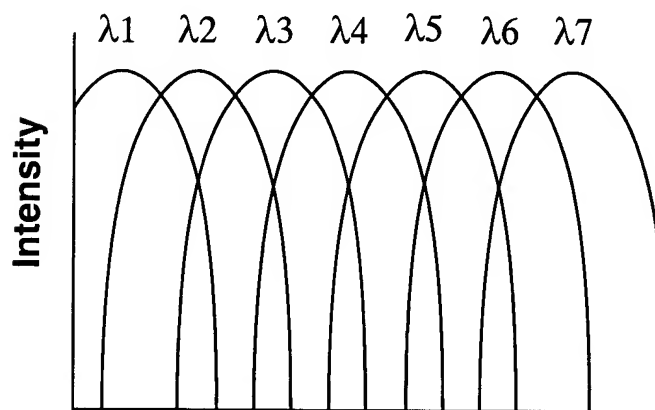


Fig. 9b Focal Plane Position

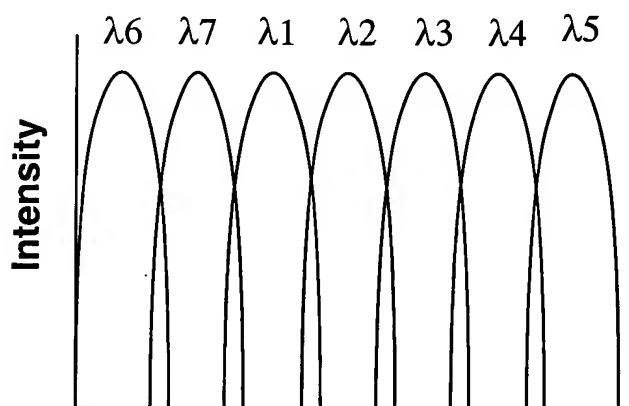


Fig. 10 Focal Plane Position

5/16

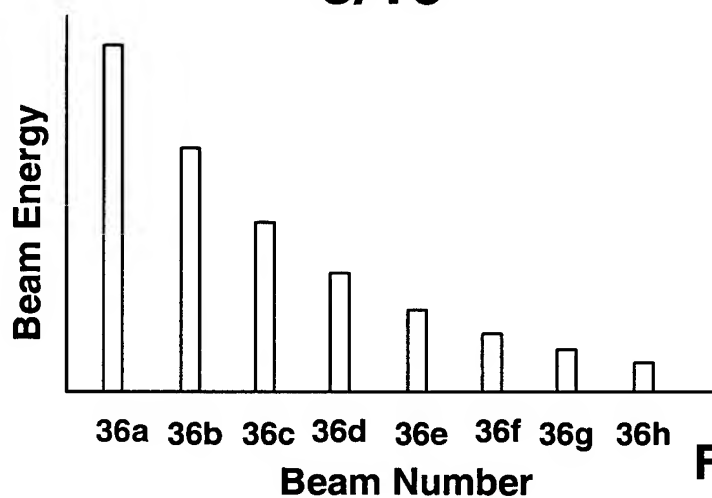


Fig. 11

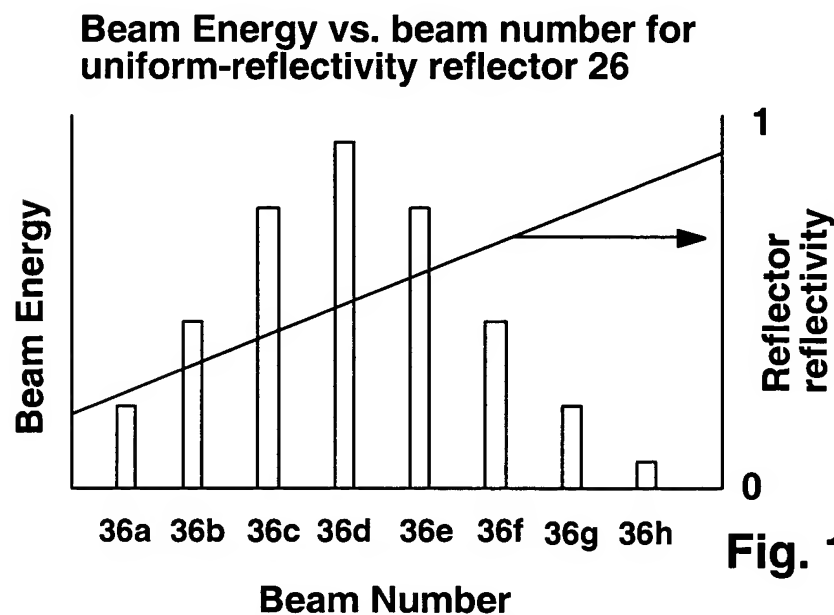


Fig. 12

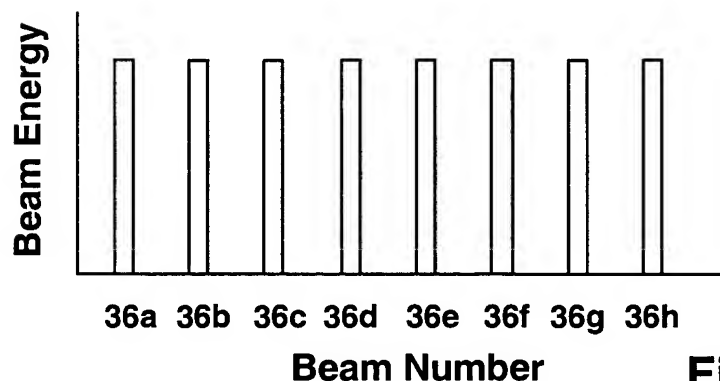
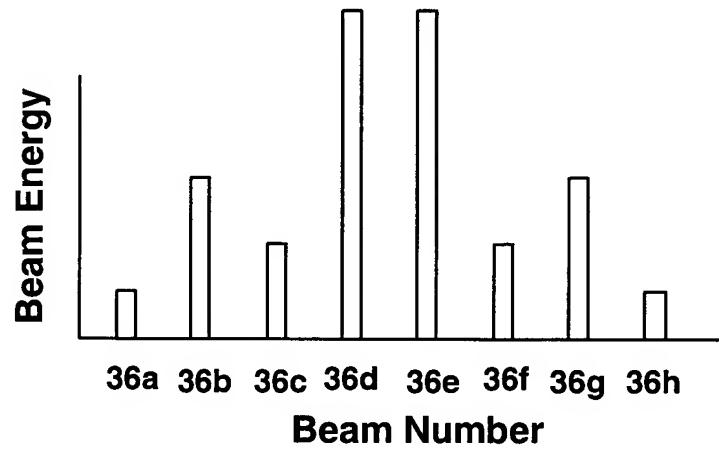


Fig. 13

6/16



Beam Energy vs. beam number
Sinc function- energy distribution

Fig. 14

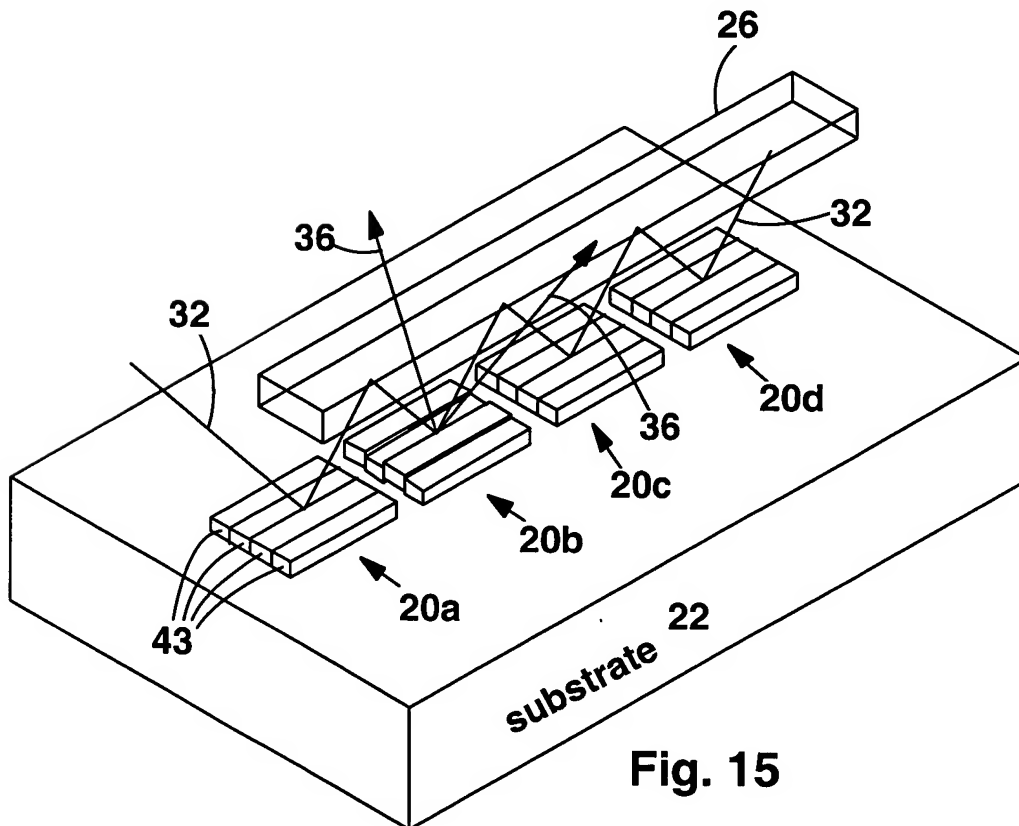
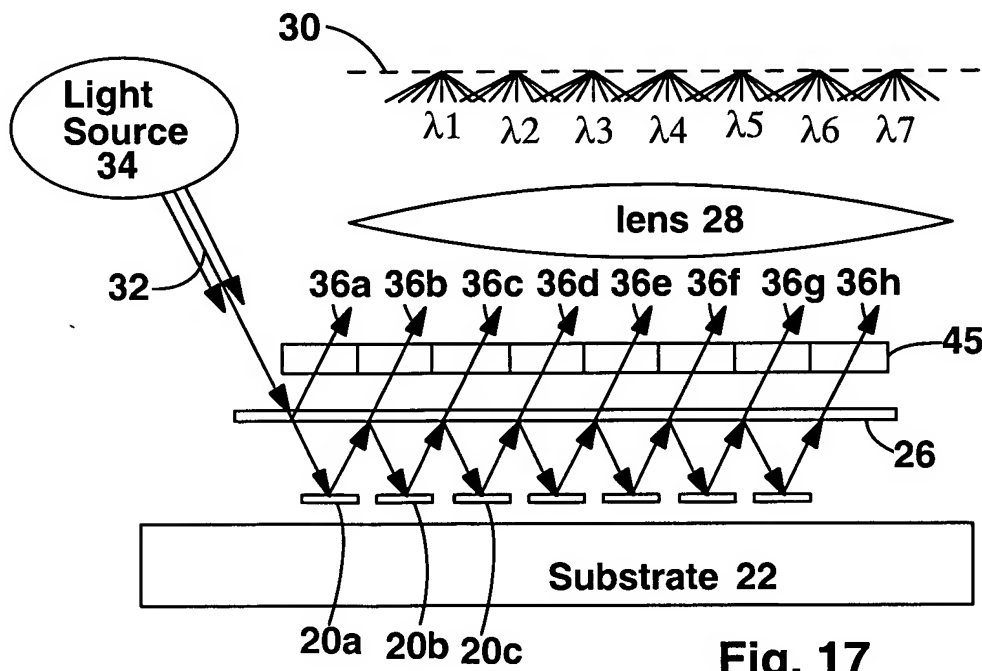
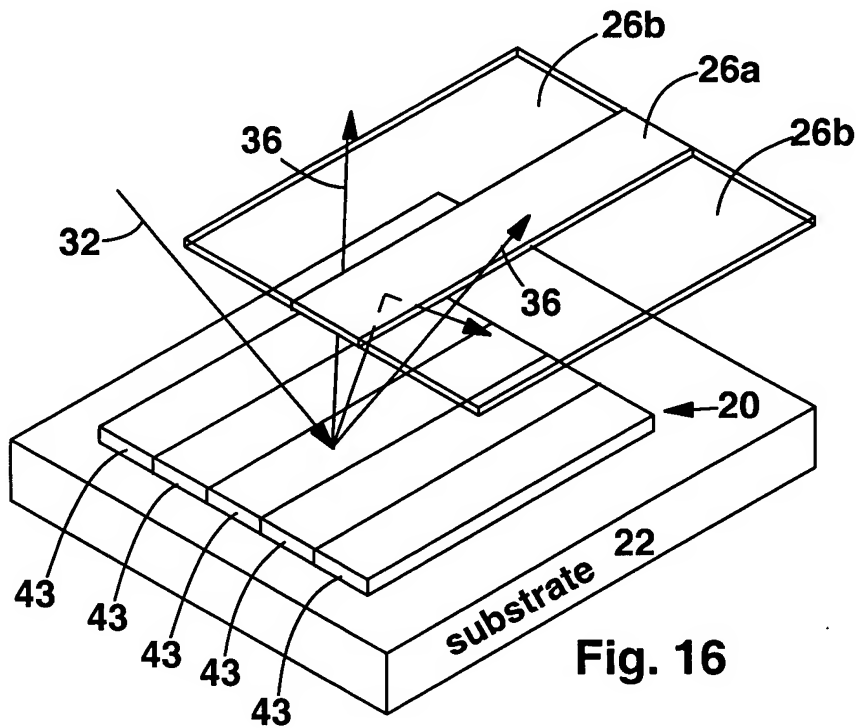


Fig. 15

7/16



8/16

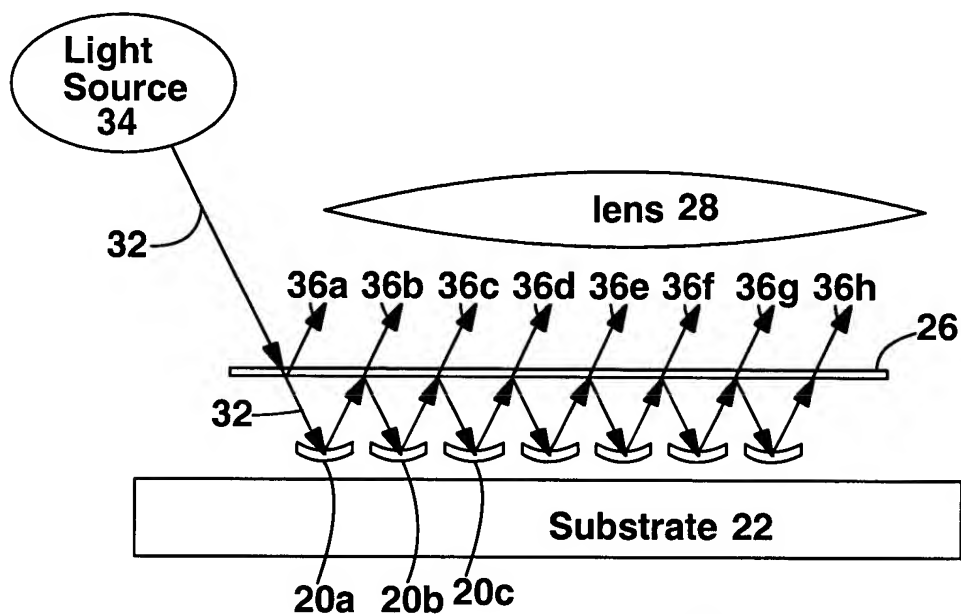


Fig. 18

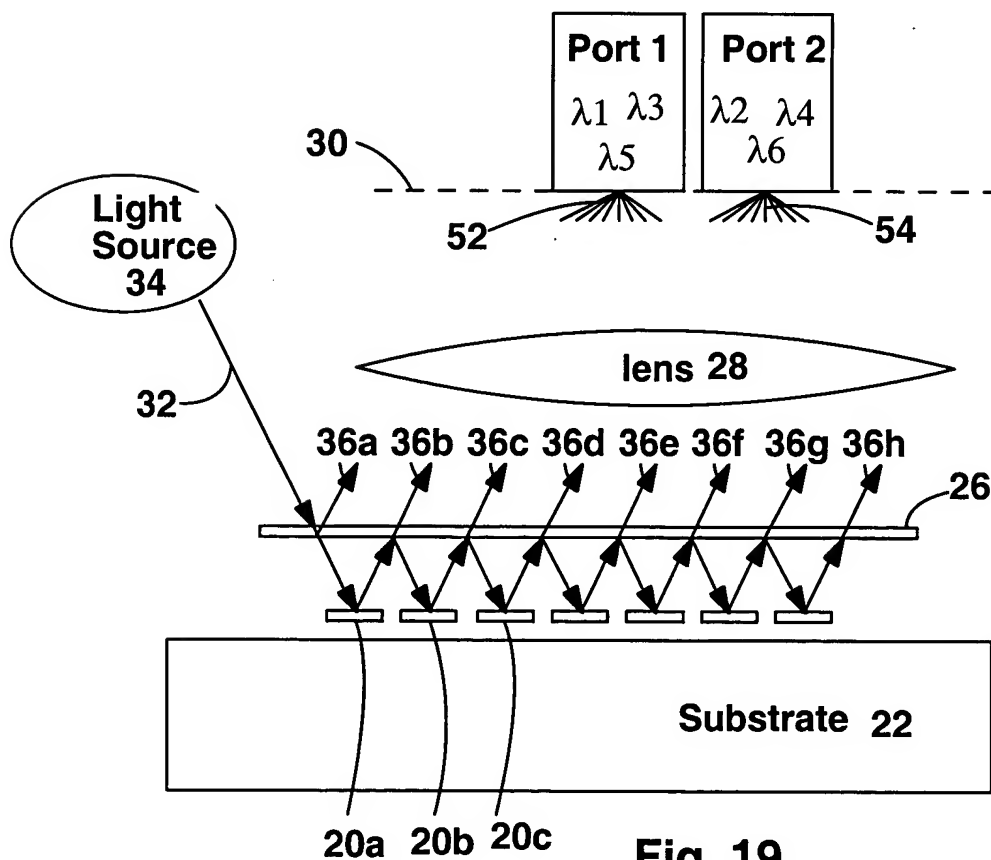


Fig. 19

9/16

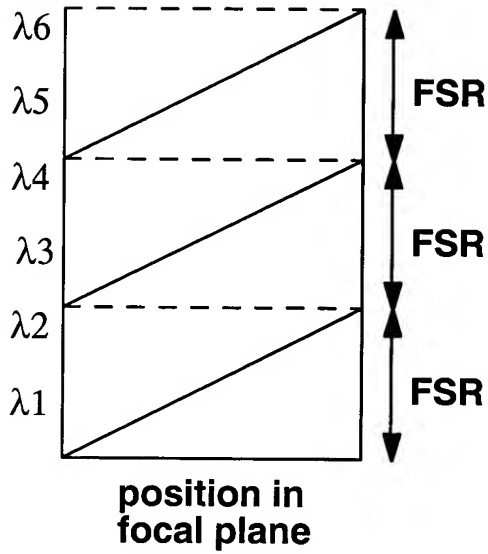


Fig. 20

Port 2

$\lambda_2 \lambda_4 \lambda_6$	$\lambda_1 \lambda_3 \lambda_5$
---------------------------------	---------------------------------

Port 1

$\lambda_1 \lambda_3 \lambda_5$	$\lambda_2 \lambda_4 \lambda_6$
---------------------------------	---------------------------------

Mirror Position

Fig. 21

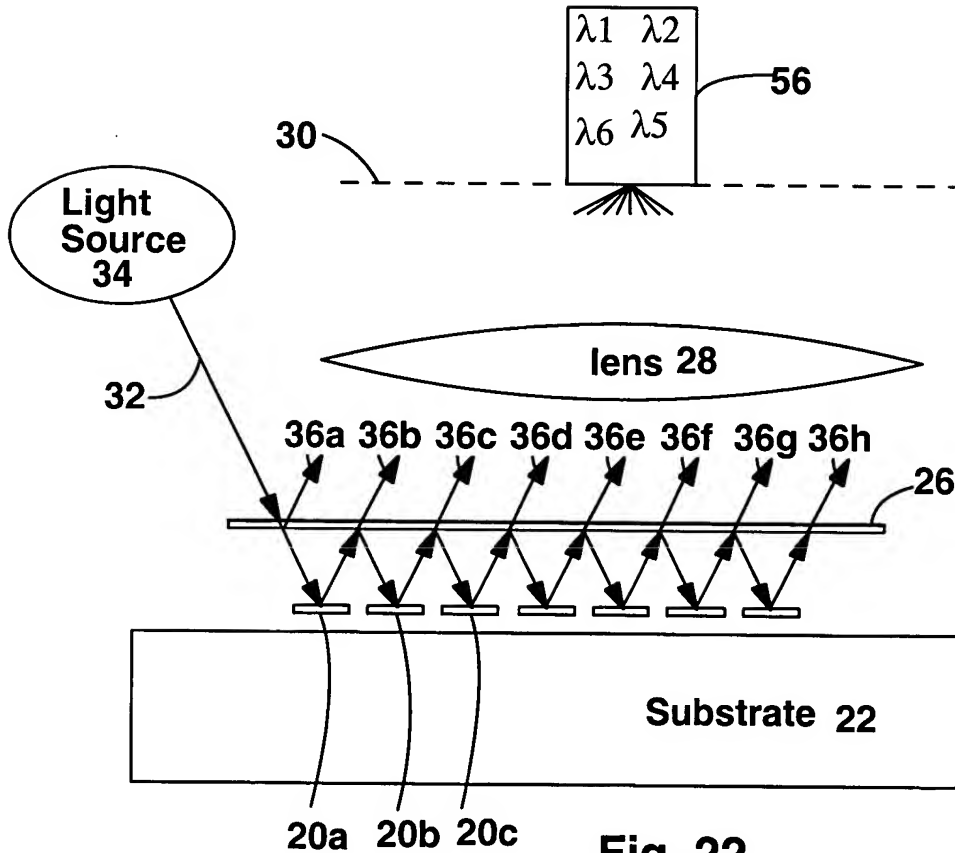


Fig. 22

10/16

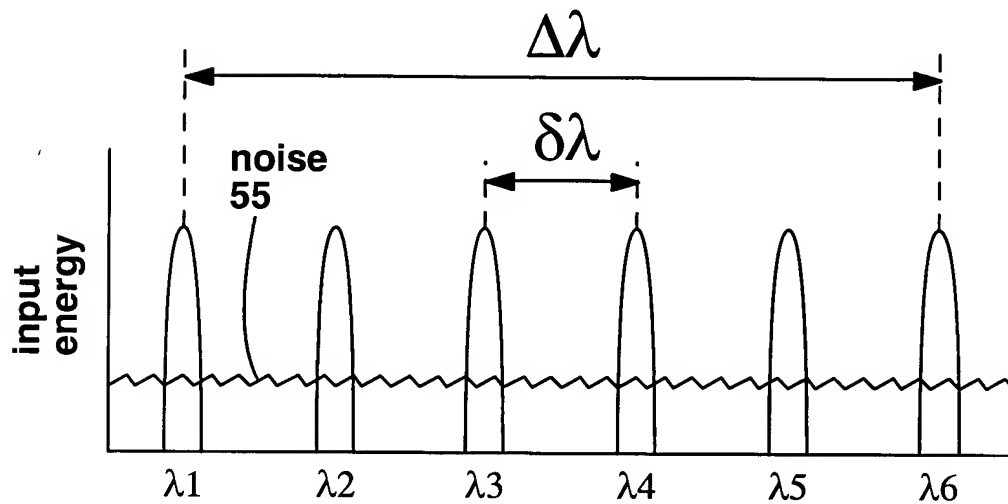


Fig. 23a

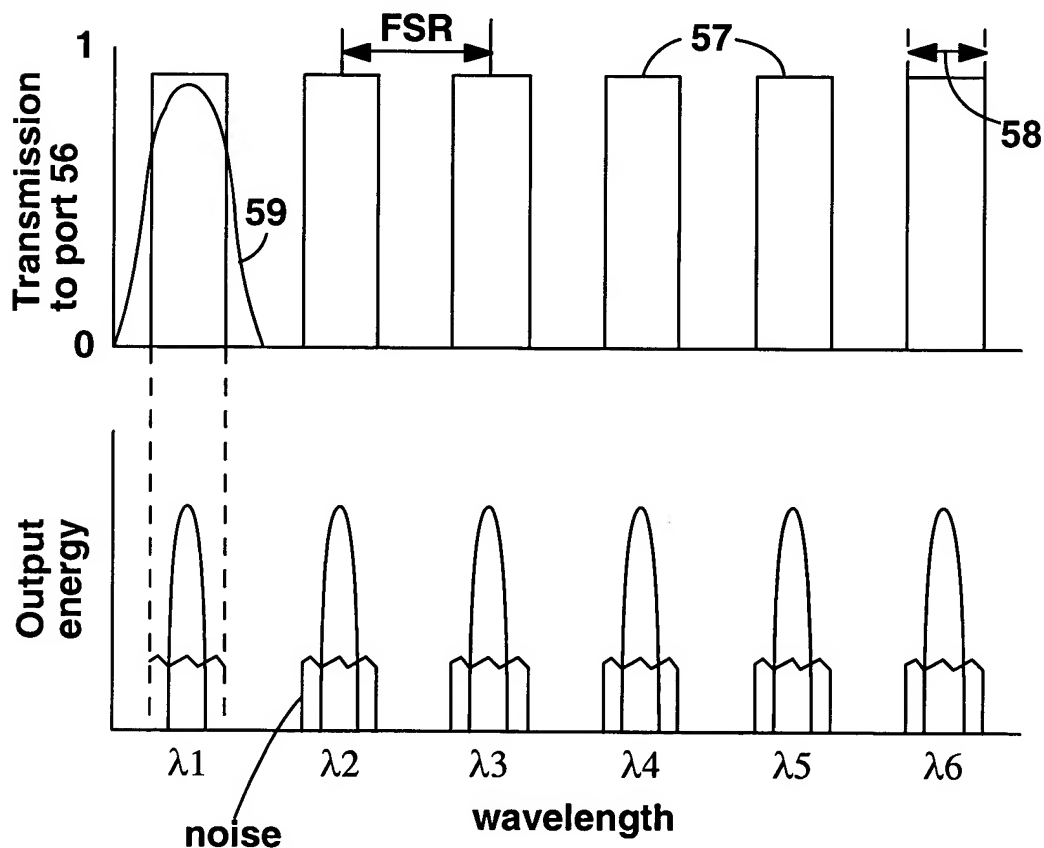


Fig. 23b

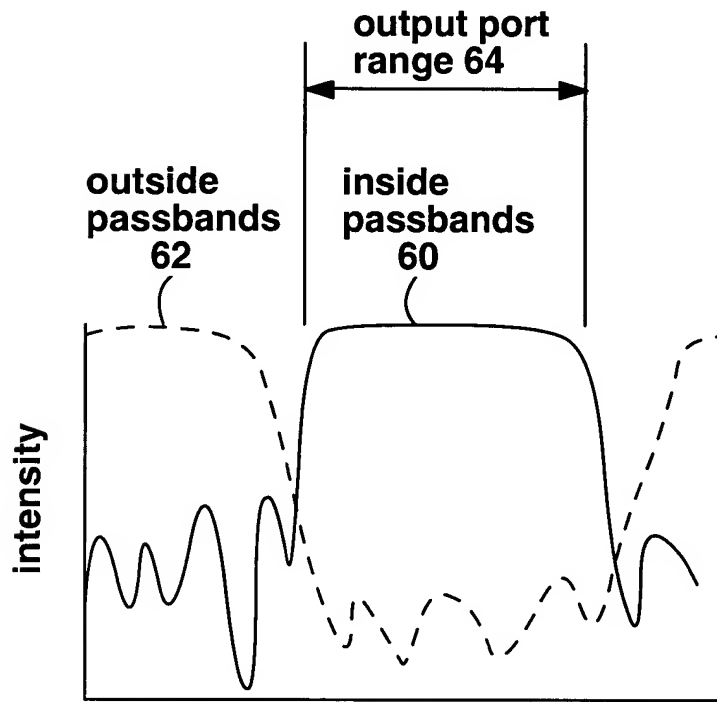


Fig. 24 position in focal plane

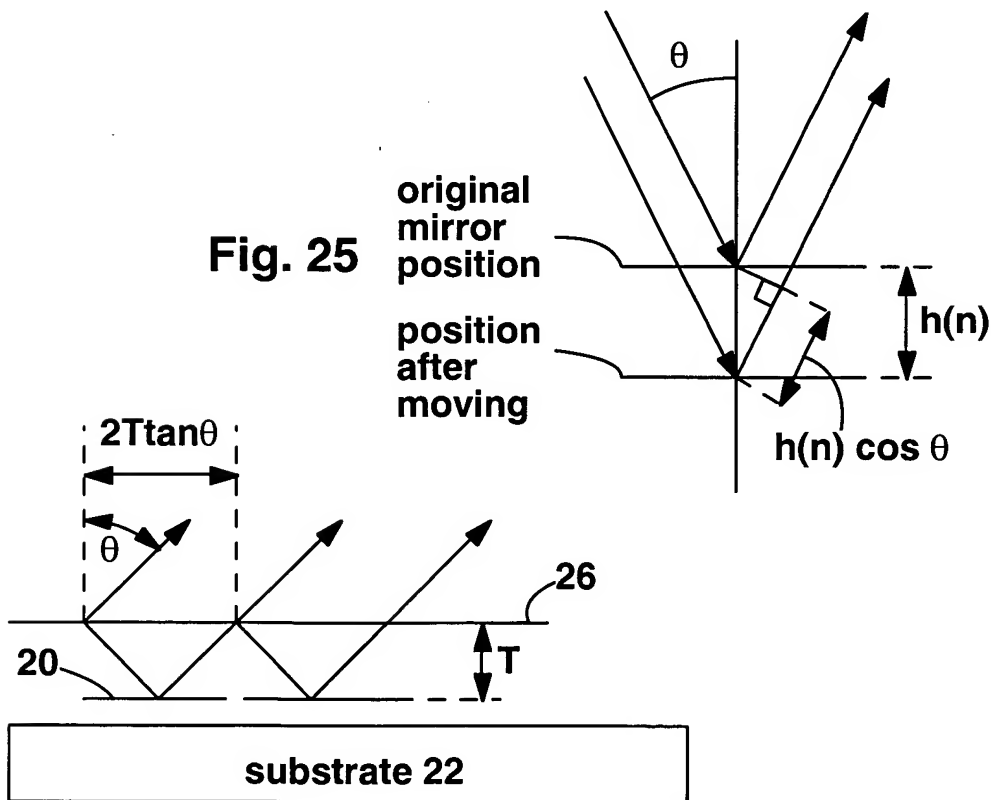


Fig. 26

12/16

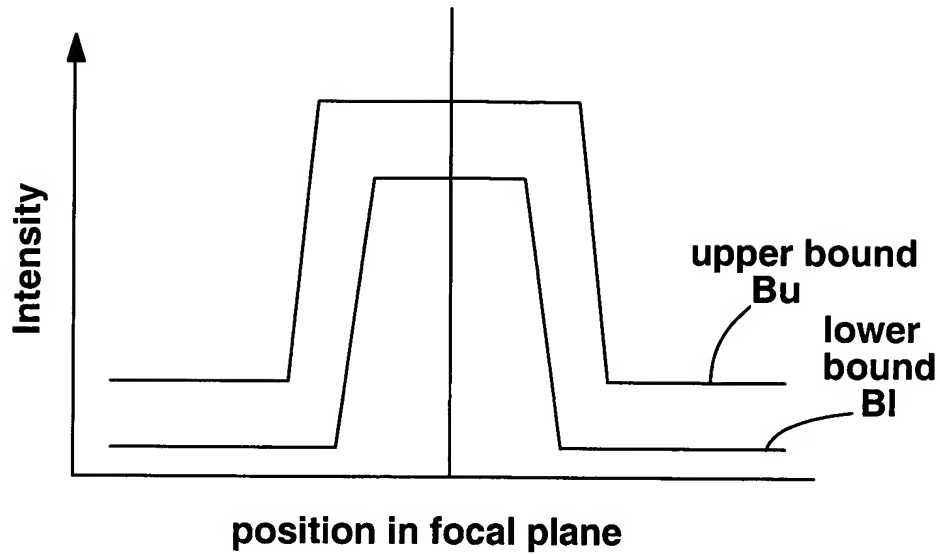


Fig. 27

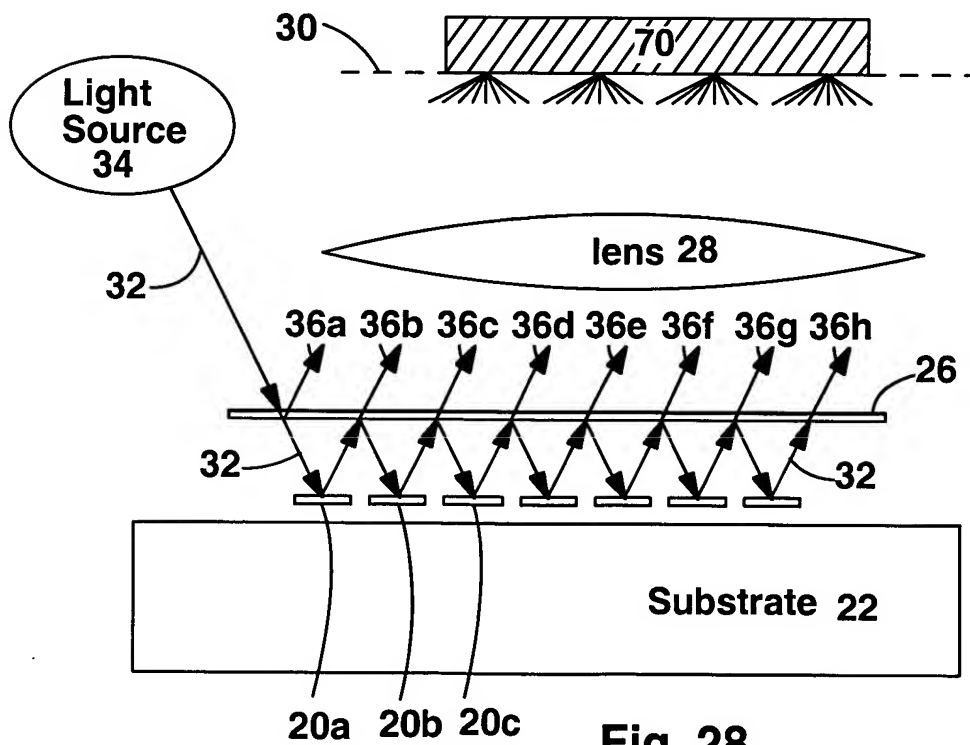


Fig. 28

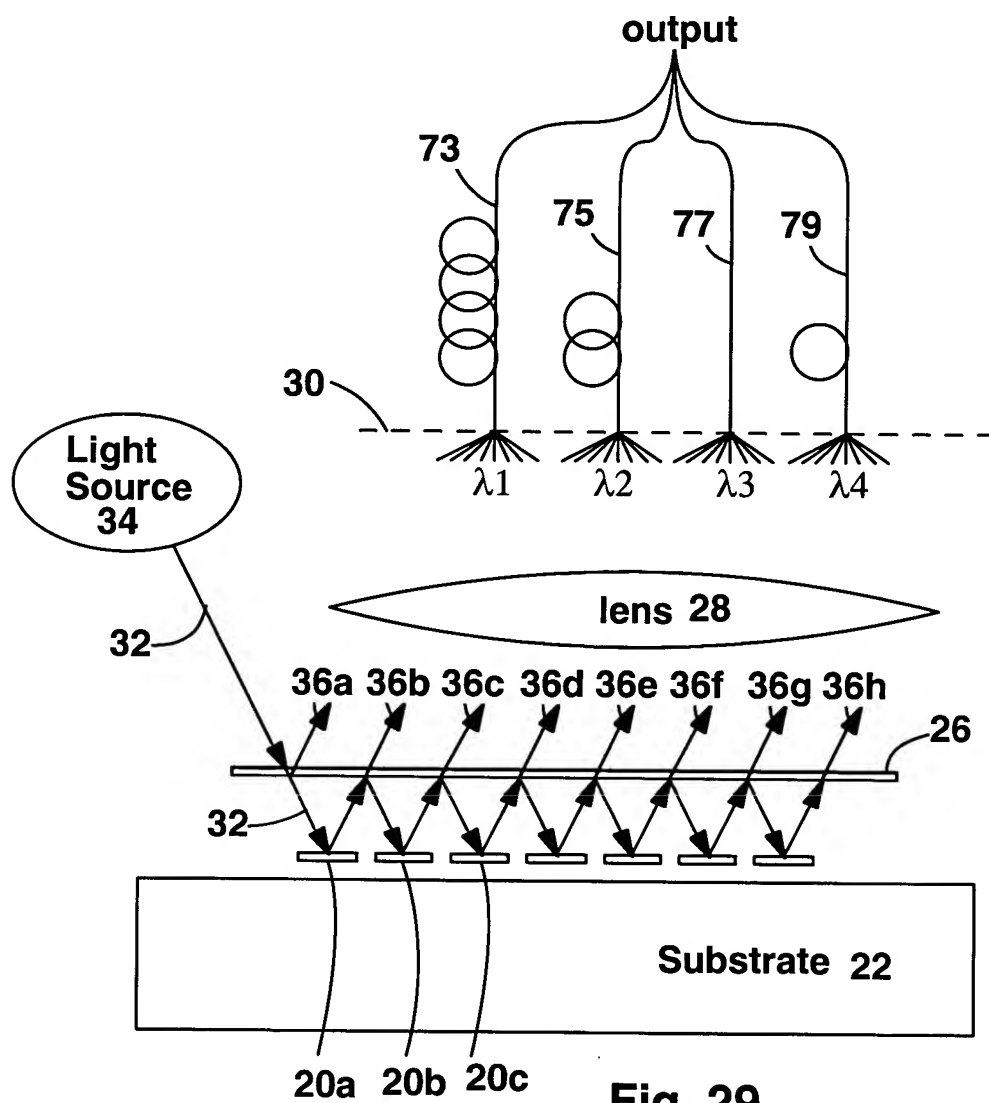
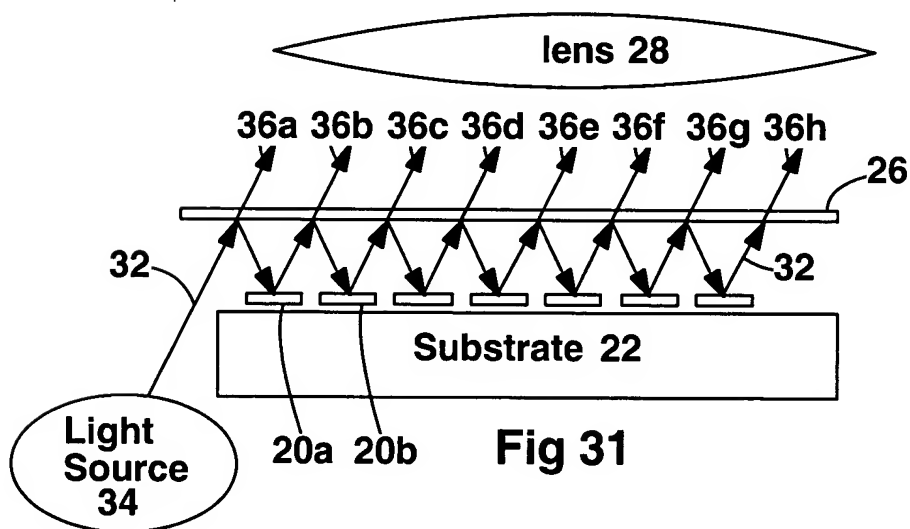
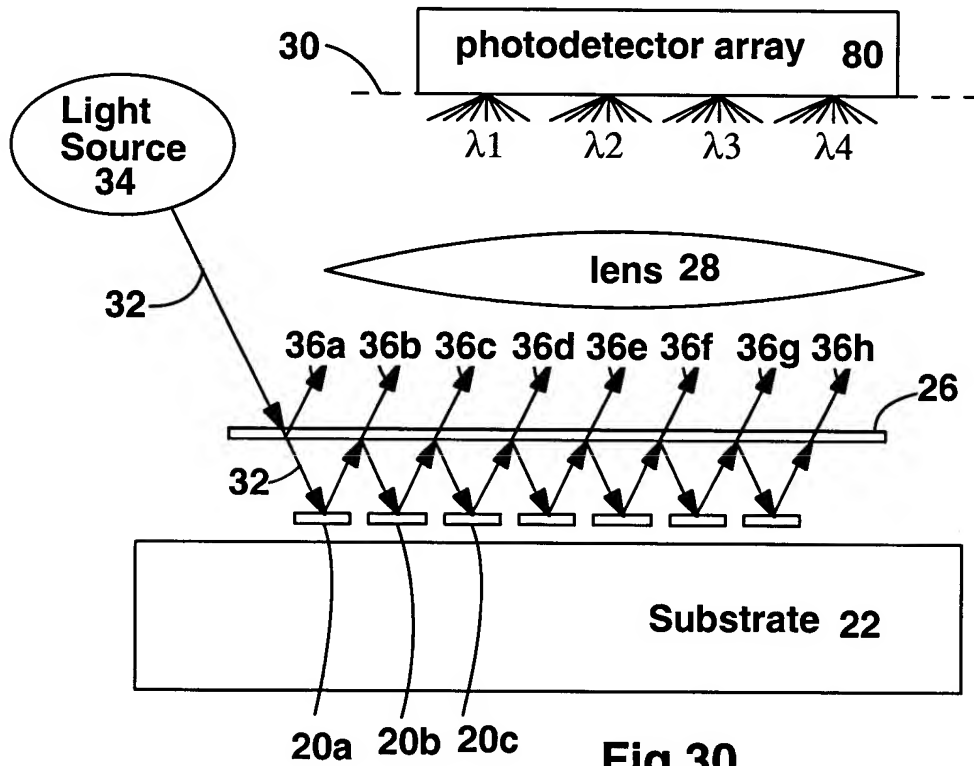
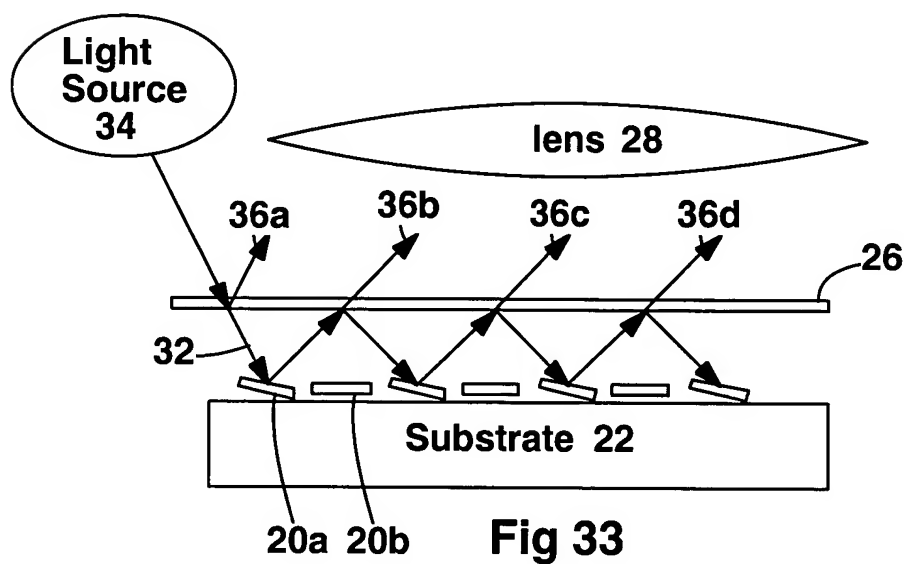
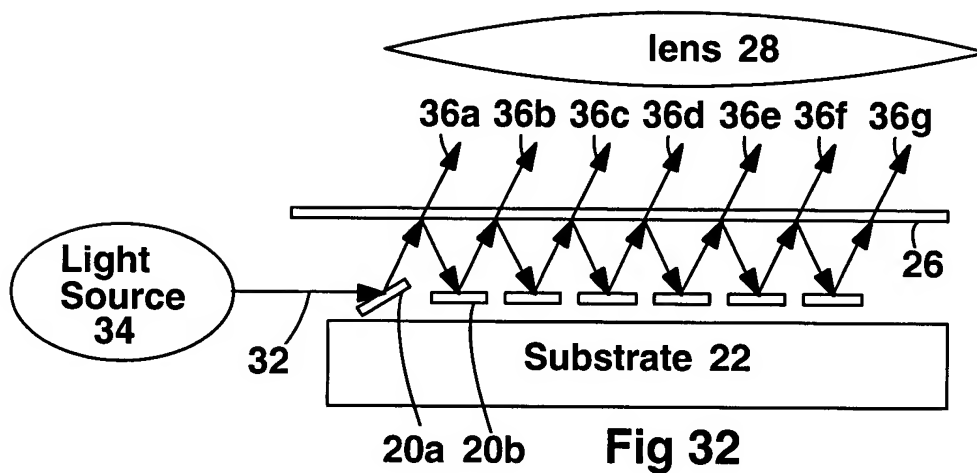


Fig. 29





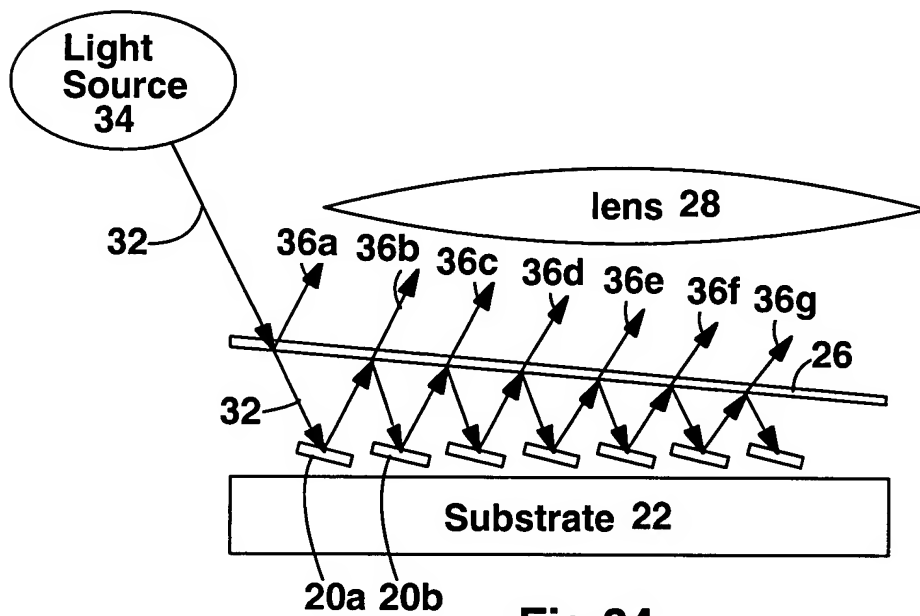


Fig 34